

7

สมบัติการดูดซับสีย้อมในน้ำทิ้งจากอุตสาหกรรมสิ่งทอ  
โดยใช้แร่ดินร่วมกับสารจับก้อนเคมี



นางสาววิมลโรจนั โอสถานุเคราะห์

วิทยานิพนธ์นี้เป็นส่วนหนึ่งของการศึกษาตามหลักสูตรปริญญาวิทยาศาสตรมหาบัณฑิต

สาขาวิชาวิทยาศาสตรัสภาพะแวดล้อม

บัณฑิตวิทยาลัย จุฬาลงกรณ์มหาวิทยาลัย

พ.ศ. 2537

ISBN 974-584-627-9

ลิขสิทธิ์ของบัณฑิตวิทยาลัย จุฬาลงกรณ์มหาวิทยาลัย

21

**ADSORPTION PROPERTY OF MIXTURE OF CLAY-MINERALS  
AND CHEMICAL COAGULANTS  
ON DYESTUFFS IN WASTEWATER FROM TEXTILE INDUSTRY**

**MISS VIMOLROJ OSATHANUGRAH**

**A Thesis Submitted in Partial Fulfillment of the Requirements**

**for the Degree of Master of Science**

**Interdepartment of Environmental Science**

**Graduate School**

**Chulalongkorn University**

**1994**

**ISBN 974-584-627-9**

หัวข้อวิทยานิพนธ์ สมบัติการดูดซับสีข้อมในน้ำทิ้งอุตสาหกรรมสิ่งทอ โดยใช้เรซินร่วมกับสาร  
จับก้อนเคมี

โดย นางสาววิมลโรจน์ โอสธานุเคราะห์


สาขาวิชา วิทยาศาสตร์สภาวะแวดล้อม

อาจารย์ที่ปรึกษา รองศาสตราจารย์ ดร.พีรวรรณ พันธมนาวิน

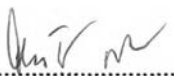
อาจารย์ที่ปรึกษาร่วม อาจารย์ ดร. วราภรณ์ ลีพิพัฒน์ไพบูลย์

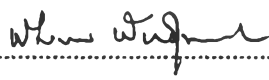
---


บัณฑิตวิทยาลัยจุฬาลงกรณ์มหาวิทยาลัยอนุมัติให้นับวิทยานิพนธ์ฉบับนี้เป็น  
ส่วนหนึ่งของการศึกษาตามหลักสูตรปริญญาโทมหาบัณฑิต

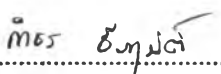
  
..... คณบดีบัณฑิตวิทยาลัย  
( ศาสตราจารย์ ดร. ถาวร วัชรากัย )

คณะกรรมการสอบวิทยานิพนธ์

  
..... ประธานกรรมการ  
( รองศาสตราจารย์ ไพรัช สายเชื้อ )

  
..... อาจารย์ที่ปรึกษา  
( รองศาสตราจารย์ ดร. พีรวรรณ พันธมนาวิน )

  
..... อาจารย์ที่ปรึกษาร่วม  
( อาจารย์ ดร. วราภรณ์ ลีพิพัฒน์ไพบูลย์ )

  
..... กรรมการ  
( ผู้ช่วยศาสตราจารย์ ดร. กำธร ธีรคุปต์ )

พิมพ์ต้นฉบับบทคัดย่อวิทยานิพนธ์ภายในกรอบสี่เหลี่ยมนี้เพียงแผ่นเดียว

วิมลโรจน์ โอสถานุเคราะห์ : สมบัติการดูดซับสีของแร่ดินเหนียวจากอุตสาหกรรมสิ่งทอ โดยใช้แร่ดินร่วมกับสารจับก้อนเคมี (ADSORPTION PROPERTY OF MIXTURE OF CLAY-MINERALS AND CHEMICAL COAGULANTS ON DYESTUFFS IN WASTEWATER FROM TEXTILE INDUSTRY) อาจารย์ที่ปรึกษา : รองศาสตราจารย์ ดร. พีรพรรณ พันธุมนาวิน อาจารย์ที่ปรึกษาร่วม : อาจารย์ ดร. วราภรณ์ ลีพิพัฒน์ไพบูลย์, 127 หน้า. ISBN 974-584-627-9

การวิจัยครั้งนี้มุ่งที่จะศึกษาการกำจัดสีของน้ำโดยใช้สมบัติการดูดซับของแร่ดินที่สามารถหาได้ในประเทศไทย ได้แก่ แร่ดินเบนโทไนท์และเคโอลิไนท์ และการใช้แร่ดินร่วมกับสารตกตะกอนเพื่อช่วยเพิ่มประสิทธิภาพในการกำจัดสีของน้ำในสารละลายสีของน้ำมาตรฐาน 6 ชนิดที่เตรียมขึ้นในห้องทดลอง และตัวอย่างน้ำทิ้งจากอุตสาหกรรมสิ่งทออีก 5 ตัวอย่าง ในการทดลองนี้น้ำสีของน้ำมาทำการทดลอง 3 ประเภท ได้แก่ ดิสเพิส, ไคเร็กซ์ และรีแอกทีฟ ประเภทละ 2 โทนสี คือ สีแดงและสีน้ำเงิน โดยทำการศึกษาปัจจัยต่างๆ ดังนี้คือ อิทธิพลของค่าพีเอชที่มีต่อสารละลายสีของน้ำมาตรฐาน, สารตกตะกอน, แร่ดิน และปริมาณที่เหมาะสมของสาร ตกตะกอน, แร่ดิน และชนิดของสารตกตะกอนร่วมที่เหมาะสมกับแร่ดิน จากผลการทดลอง พบว่าสารตกตะกอนที่สามารถตกตะกอนได้ดีที่สุดเมื่อปรับค่าพีเอชให้อยู่ในช่วงที่เหมาะสม ได้แก่ อะลัม ส่วนแร่ดินที่สามารถทำการดูดซับได้ดีที่สุดได้แก่ แร่ดินเบนโทไนท์ และพบว่า ค่าพีเอชไม่มีผลต่อการดูดซับของแร่ดิน

ภาควิชา.....วิทยาศาสตร์สิ่งแวดล้อม.....  
สาขาวิชา.....สหสาขาวิชาวิทยาศาสตร์สุขภาพ:สิ่งแวดล้อม.....  
ปีการศึกษา.....2536.....

ลายมือชื่อนิสิต.....วิมลโรจน์ โอสถานุเคราะห์.....  
ลายมือชื่ออาจารย์ที่ปรึกษา.....พีรพรรณ พันธุมนาวิน.....  
ลายมือชื่ออาจารย์ที่ปรึกษาร่วม.....วราภรณ์ ลีพิพัฒน์ไพบูลย์.....

## C526366 MAJOR ENVIRONMENT SCIENCE  
KEY WORD: WASTEWATER/DYE/TEXTILE

VIMOLROJ OSATHANUGRAH : ADSORPTION PROPERTY OF MIXTURE OF CLAY-MINERALS AND CHEMICALS ON DYESTUFFS IN WASTEWATER FROM TEXTILE INDUSTRY. THESIS ADVISOR ASSO. PROF. PIRAWAN BHANTHUMNAWIN, Ph.D., THESIS CO-ADVISOR VARAPORN LEEPIPATPIBOON, Ph.D. 127 pp. ISBN 974-584-627-9

This research is intended to investigate the adsorption property of clay-minerals available in Thailand ie, bentonite and kaolinite, and the mixture of clay-minerals and chemical coagulants, on removal of dyestuffs from 6 dye solutions prepared in the laboratory and 5 samples of textile effluent collected from sites. In this study three kinds of dyestuffs ie, disperse, direct and reactive, and two tones ie, red and blue were used. Factors such as an impact of pH on dye-solutions, chemical coagulants and clay-minerals were studied. Optimum dose of chemical-coagulants, clay-minerals and clay-minerals together with chemical-coagulants were determined. It was found that bentonite clay is the best adsorbent and alums are more effective coagulant than the others when they reach the optimum pH. But pH has no effect on bentonite adsorption.

ภาควิชา วิทยาศาสตร์สิ่งแวดล้อม ..... ลายมือชื่อนิสิต วัฒนโรจน์ โอสมานเคราะห์ .....  
สาขาวิชา สันสาขาวิทยาศาสตร์สุขภาพ:สิ่งแวดล้อม ..... ลายมือชื่ออาจารย์ที่ปรึกษา วัฒนโรจน์ โอสมานเคราะห์ .....  
ปีการศึกษา ๒๕๒๖ ..... ลายมือชื่ออาจารย์ที่ปรึกษาร่วม วัฒนโรจน์ โอสมานเคราะห์ .....

## กิตติกรรมประกาศ

ผู้เขียนขอกราบขอบพระคุณ รองศาสตราจารย์ ดร.พีรพรรณ พันธุมนาวิน ซึ่งเป็นอาจารย์ที่ปรึกษาวิทยานิพนธ์, อาจารย์ ดร.วราภรณ์ ลิพิพัฒนไพบูลย์ อาจารย์ที่ปรึกษาวิทยานิพนธ์ร่วม, รองศาสตราจารย์ไพรัช สายเชื้อ ประธานคณะกรรมการสอบวิทยานิพนธ์, ผู้ช่วยศาสตราจารย์ กำธร ธีรคุปต์ กรรมการสอบวิทยานิพนธ์, อาจารย์พนวสันต์ เอี่ยมจันทร์ และคณาจารย์ทุกท่านที่เมตตาให้คำแนะนำและความกรุณามาโดยตลอด

ขอขอบพระคุณ คุณจารุณี-คุณสงบ ปานดอกไม้ , คุณชัชวรินทร์-คุณประภาส ภาณุไพศาล, คุณเทอดขวัญ กำภู ณ อยุธยา และคุณนवलศรี กาญจนกุล ซึ่งให้ข้อมูลต่างๆ เกี่ยวกับแร่ดินและอุตสาหกรรมสิ่งทอ

ขอขอบคุณ เจ้าหน้าที่กระทรวงอุตสาหกรรม, เจ้าหน้าที่สำนักงานคณะกรรมการสิ่งแวดล้อมแห่งชาติ, เจ้าหน้าที่บัณฑิตวิทยาลัย, เจ้าหน้าที่ห้องสมุดคณะวิทยาศาสตร์ จุฬาลงกรณ์มหาวิทยาลัย, คุณประยูร พงศ์พิทยากร เจ้าหน้าที่ประจำห้องปฏิบัติการเคมี, คุณประนอม ขาวเมฆ, คุณรุจิพร ประทีปเสน เจ้าหน้าที่ศูนย์เครื่องมือจุฬาลงกรณ์มหาวิทยาลัย, คุณเสาวภา ชุมณี บริษัทเค. เวลด์ เทคโนโลยี, เจ้าของ-ผู้จัดการ บริษัท แสันทวีเทคโนโลยี จำกัด ที่ให้ความอนุเคราะห์สีย้อมและน้ำทิ้งตัวอย่าง, คุณวรี รุ่งพรชัย, คุณบัวเรือน นามืองรัมย์, พี่ๆ เพื่อนๆ และน้องนิสิตทุกคน ที่สละเวลามาให้ความช่วยเหลือ

สุดท้ายนี้ ขอกราบขอบพระคุณ คุณพ่อ-คุณแม่-คุณป้า, รองศาสตราจารย์สุนันท์ ปัทมาคม, ผู้ช่วยศาสตราจารย์ กันยรัตน์ กลัมพากร และผู้ช่วยศาสตราจารย์วาทินี ลิ้มปัสวีศักดิ์ ซึ่งเป็นที่รักยิ่งของผู้เขียนที่ให้ความช่วยเหลือ, ให้การสนับสนุน และเป็นกำลังใจอันยิ่งใหญ่ เป็นผลให้วิทยานิพนธ์เล่มนี้สำเร็จลุล่วงไปด้วยดี

## สารบัญ

	หน้า
บทคัดย่อภาษาไทย .....	ง
บทคัดย่อภาษาอังกฤษ .....	จ
กิตติกรรมประกาศ .....	ฉ
สารบัญ .....	ช
สารบัญตาราง .....	ซ
สารบัญรูป .....	ฅ
บทที่	
1. บทนำ .....	1
2. ทฤษฎีและการทบทวนเอกสาร .....	5
3. วัตถุประสงค์และวิธีดำเนินการทดลอง .....	26
4. ผลการทดลอง และวิจารณ์ผลการทดลอง .....	38
5. สรุปผลการทดลองและข้อเสนอแนะ .....	92
รายการอ้างอิง .....	93
ภาคผนวก .....	97
ประวัติผู้เขียน .....	127

## สารบัญตาราง

ตารางที่	หน้าที่
2.1 ความสัมพันธ์ระหว่างความยาวคลื่นแสงที่ถูกดูดกลืนโดยวัตถุ และสีของแสงที่ปรากฏ	17
4.1 ค่าความยาวคลื่นที่มีค่าการดูดกลืนแสงสูงสุด, ค่าการดูดกลืนแสง และค่าพีเอช ของสารละลายสีข้อมมาตรฐาน 6 ชนิด	38
4.2 ประเภทและสมบัติทางกายภาพที่สังเกตได้ของสารละลายสีข้อมมาตรฐาน 6 ชนิด	42
4.3 ความสัมพันธ์ระหว่างค่าพีเอชที่เปลี่ยนแปลงไป และลักษณะทางกายภาพของสีที่สังเกตได้ ของสารละลายสีข้อมมาตรฐาน 6 ชนิด	43
4.4 ความสัมพันธ์ระหว่างค่าพีเอชที่เปลี่ยนแปลงไป และค่าการดูดกลืนแสงเฉลี่ย วัตถุที่ค่าความยาวคลื่นที่มีค่าการดูดกลืนแสงสูงสุด ของสารละลายสีข้อมมาตรฐาน 6 ชนิด	44
4.5 ลักษณะทางกายภาพของสารละลายและตะกอนที่เกิดขึ้นของสารละลายสีข้อมมาตรฐาน 6 ชนิด เมื่อเติมสารละลายอะลัมความเข้มข้น 500 พีพีเอ็ม ปริมาตร 5 cm <sup>3</sup>	48
4.6 ความสัมพันธ์ระหว่างค่าพีเอชที่เปลี่ยนแปลงไป และค่าการดูดกลืนแสงเฉลี่ย วัตถุที่ค่าความยาวคลื่นที่มีค่าการดูดกลืนแสงสูงสุด ของสารละลายสีข้อมมาตรฐาน 6 ชนิด เมื่อเติมสารละลายอะลัมความเข้มข้น 500 พีพีเอ็ม ปริมาตร 5 cm <sup>3</sup>	49
4.7 ลักษณะทางกายภาพของสารละลายและตะกอนที่เกิดขึ้นของสารละลายสีข้อมมาตรฐาน 6 ชนิด เมื่อเติมสารละลายเฟอร์รัสแอมโมเนียมซัลเฟต ความเข้มข้น 500 พีพีเอ็ม ปริมาตร 5 cm <sup>3</sup>	51
4.8 ความสัมพันธ์ระหว่างค่าพีเอชที่เปลี่ยนแปลงไป และค่าการดูดกลืนแสงเฉลี่ย วัตถุที่ค่าความยาวคลื่นที่มีค่าการดูดกลืนแสงสูงสุด ของสารละลายสีข้อมมาตรฐาน 6 ชนิด เมื่อเติมสารละลายเฟอร์รัสแอมโมเนียมซัลเฟต ความเข้มข้น 500 พีพีเอ็ม ปริมาตร 5 cm <sup>3</sup>	52



ตารางที่	หน้าที่
4.9 ลักษณะทางกายภาพของสารละลายและตะกอนที่เกิดขึ้นของสารละลายสีข้อม มาตรฐาน 6 ชนิด เมื่อเติมสารละลายเฟอร์ริซัลเฟต ความเข้มข้น 500 พีพีเอ็ม ปริมาตร 5 cm <sup>3</sup>	54
4.10 ความสัมพันธ์ระหว่างค่าพีเอชที่เปลี่ยนแปลงไป และค่าการดูดกลืนแสงเฉลี่ย วัดที่ค่าความยาวคลื่นที่มีค่าการดูดกลืนแสงสูงสุด ของสารละลายสีข้อม มาตรฐาน 6 ชนิด เมื่อเติมสารละลายเฟอร์ริซัลเฟต ความเข้มข้น 500 พีพีเอ็ม ปริมาตร 5 cm <sup>3</sup>	55
4.11 ลักษณะทางกายภาพของสารละลายและตะกอนที่เกิดขึ้นของสารละลายสีข้อม มาตรฐาน 6 ชนิด เมื่อเติมแร็คทินเบนโทไนท์ปริมาณ 500 mg	58
4.12 ความสัมพันธ์ระหว่างค่าพีเอชที่เปลี่ยนแปลงไป และค่าการดูดกลืนแสงเฉลี่ย วัดที่ค่าความยาวคลื่นที่มีค่าการดูดกลืนแสงสูงสุด ของสารละลายสีข้อม มาตรฐาน 6 ชนิด เมื่อเติมแร็คทินเบนโทไนท์ปริมาณ 500 mg	59
4.13 ลักษณะทางกายภาพของสารละลายและตะกอนที่เกิดขึ้นของสารละลายสีข้อม มาตรฐาน 6 ชนิด เมื่อเติมแร็คทินเคโอลิไนท์ปริมาณ 500 mg	61
4.14 ความสัมพันธ์ระหว่างค่าพีเอชที่เปลี่ยนแปลงไป และค่าการดูดกลืนแสงเฉลี่ย วัดที่ค่าความยาวคลื่นที่มีค่าการดูดกลืนแสงสูงสุด ของสารละลายสีข้อม มาตรฐาน 6 ชนิด เมื่อเติมแร็คทินเคโอลิไนท์ปริมาณ 500 mg	62
4.15 ความสัมพันธ์ระหว่างปริมาณสารละลายอะลัมและค่าการดูดกลืนแสงเฉลี่ย วัดที่ค่าความยาวคลื่นที่มีค่าการดูดกลืนแสงสูงสุดของสารละลายสีข้อม มาตรฐาน 6 ชนิด ที่ช่วงพีเอช 5-6	67
4.16 ความสัมพันธ์ระหว่างปริมาณสารละลายเฟอร์ริแอมโมเนียมซัลเฟต และ ค่าการดูดกลืนแสงเฉลี่ยวัดที่ค่าความยาวคลื่นที่มีค่าการดูดกลืนแสงสูงสุด ของสารละลายสีข้อมมาตรฐาน 6 ชนิด ที่ช่วงพีเอช 8-10	69
4.17 ความสัมพันธ์ระหว่างปริมาณสารละลายเฟอร์ริซัลเฟตและค่าการ ดูดกลืนแสงเฉลี่ยวัดที่ค่าความยาวคลื่นที่มีค่าการดูดกลืนแสงสูงสุด ของสารละลายสีข้อมมาตรฐาน 6 ชนิด ที่ช่วงพีเอช 8-10	71

ตารางที่	หน้าที่
4.18 ความสัมพันธ์ระหว่างปริมาณแรงแคิเบนโทไนท์ที่เปลี่ยนแปลงไปและค่าการดูดกลืนแสงเฉลี่ยวัดที่ค่าความยาวคลื่นที่มีค่าการดูดกลืนแสงสูงสุดของสารละลายสีข้อมมาตรฐาน 6 ชนิด	73
4.18 ความสัมพันธ์ระหว่างปริมาณแรงแคิเบนโทไนท์ที่เปลี่ยนแปลงไปและค่าการดูดกลืนแสงเฉลี่ยวัดที่ค่าความยาวคลื่นที่มีค่าการดูดกลืนแสงสูงสุดของสารละลายสีข้อมมาตรฐาน 6 ชนิด (ต่อ)	74
4.19 ความสัมพันธ์ระหว่างปริมาณแรงแคิโอลิไนท์ที่เปลี่ยนแปลงไปและค่าการดูดกลืนแสงเฉลี่ยวัดที่ค่าความยาวคลื่นที่มีค่าการดูดกลืนแสงสูงสุดของสารละลายสีข้อมมาตรฐาน 6 ชนิด	76
4.20 ความสัมพันธ์ระหว่างปริมาตรของสารละลายอะลัม ความเข้มข้น 500 พีพีเอ็ม และค่าการดูดกลืนแสงเฉลี่ยที่ค่าความยาวคลื่นที่มีค่าการดูดกลืนแสงสูงสุดของสารละลายสีข้อมมาตรฐาน 6 ชนิด เมื่อเติมแรงแคิเบนโทไนท์ ปริมาณ 1 g	79
4.21 ความสัมพันธ์ระหว่างปริมาตรของสารละลายเฟอร์รัสแอมโมเนียมซัลเฟต ความเข้มข้น 500 พีพีเอ็ม และค่าการดูดกลืนแสงเฉลี่ยที่ค่าความยาวคลื่นที่มีค่าการดูดกลืนแสงสูงสุดของสารละลายสีข้อมมาตรฐาน 6 ชนิด เมื่อเติมแรงแคิเบนโทไนท์ ปริมาณ 1 g	81
4.22 ความสัมพันธ์ระหว่างปริมาตรของสารละลายเฟอร์รัสซัลเฟต ความเข้มข้น 500 พีพีเอ็ม และค่าการดูดกลืนแสงเฉลี่ยที่ค่าความยาวคลื่นที่มีค่าการดูดกลืนแสงสูงสุดของสารละลายสีข้อมมาตรฐาน 6 ชนิด เมื่อเติมแรงแคิเบนโทไนท์ ปริมาณ 1 g	83
4.23 ค่าความยาวคลื่นที่มีค่าการดูดกลืนแสงสูงสุด, ค่าการดูดกลืนแสงเริ่มต้น, ค่าพีเอช และสมบัติทางกายภาพของสีที่สังเคราะห์ได้จากน้ำทิ้งตัวอย่าง 5 ชนิด	85
4.24 ความสัมพันธ์ระหว่างปริมาณแรงแคิเบนโทไนท์และค่าการดูดกลืนแสงเฉลี่ยวัดที่ค่าความยาวคลื่นที่มีค่าการดูดกลืนแสงสูงสุดของน้ำทิ้งตัวอย่าง 5 ชนิด	88
4.25 ความสัมพันธ์ระหว่างปริมาตรสารตกตะกอนที่เปลี่ยนแปลงไปและค่าการดูดกลืนแสงเฉลี่ยที่ค่าความยาวคลื่นที่มีค่าการดูดกลืนแสงสูงสุดของน้ำทิ้งตัวอย่าง 5 ชนิด เมื่อเติมแรงแคิเบนโทไนท์ ปริมาณ 2 g	90

ตารางที่	หน้าที่
4.26 แสดงค่าพีเอช, ค่าบีโอดี, ค่าซีโอดี และค่าเอสเอสของน้ำทิ้งตัวอย่าง 5 ชนิด ก่อนและหลังทำการทดลอง	91

## สารบัญรูป

รูปที่	หน้าที่
2.1 แสดงการเปลี่ยนแปลงระดับพลังงาน ( $\Delta E$ ) ของสารที่เป็น M ระหว่างการดูดกลืนโฟตอนที่มีพลังงานเท่ากับ $h\nu$	15
2.2 แสดงความสัมพันธ์ระหว่างการดูดกลืนแสง (ABSORBANCE) กับความยาวคลื่น (WAVELENGTH)	16
2.3 แสดงส่วนประกอบอย่างย่อของเครื่องสเปกโตรโฟโตมิเตอร์	18
4.1 ความสัมพันธ์ระหว่างการดูดกลืนแสงกับความยาวคลื่นของสารละลาย สีย้อมมาตรฐาน RED B-S 200	39
4.2 ความสัมพันธ์ระหว่างการดูดกลืนแสงกับความยาวคลื่นของสารละลาย สีย้อมมาตรฐาน BLUE GL-S 300	39
4.3 ความสัมพันธ์ระหว่างการดูดกลืนแสงกับความยาวคลื่นของสารละลาย สีย้อมมาตรฐาน LIGHT ROSE FR	40
4.4 ความสัมพันธ์ระหว่างการดูดกลืนแสงกับความยาวคลื่นของสารละลาย สีย้อมมาตรฐาน BLUE BRL	40
4.5 ความสัมพันธ์ระหว่างการดูดกลืนแสงกับความยาวคลื่นของสารละลาย สีย้อมมาตรฐาน RED HE 7B	41
4.6 ความสัมพันธ์ระหว่างการดูดกลืนแสงกับความยาวคลื่นของสารละลาย สีย้อมมาตรฐาน BLUE HA	41
4.7 ความสัมพันธ์ระหว่างค่าพีเอชที่เปลี่ยนแปลงไป และค่าการดูดกลืนแสงเฉลี่ย วัดที่ค่าความยาวคลื่นที่มีค่าการดูดกลืนแสงสูงสุด ของสารละลายสีย้อม มาตรฐาน 6 ชนิด	45
4.8 ความสัมพันธ์ระหว่างค่าพีเอชที่เปลี่ยนแปลงไป และค่าการดูดกลืนแสงเฉลี่ย วัดที่ค่าความยาวคลื่นที่มีค่าการดูดกลืนแสงสูงสุด ของสารละลายสีย้อม มาตรฐาน 6 ชนิด เมื่อเติมสารละลายอะลัมความเข้มข้น 500 พีพีเอ็ม ปริมาตร 5 cm <sup>3</sup>	50

รูปที่	หน้าที่
4.9 ความสัมพันธ์ระหว่างค่าพีเอชที่เปลี่ยนแปลงไป และค่าการดูดกลืนแสงเฉลี่ย วัดที่ค่าความยาวคลื่นที่มีค่าการดูดกลืนแสงสูงสุด ของสารละลายสีข้อมมาตรฐาน 6 ชนิด เมื่อเติมสารละลายเฟอร์รัสแอมโมเนียมซัลเฟต ความเข้มข้น 500 พีพีเอ็ม ปริมาตร 5 cm <sup>3</sup>	53
4.10 ความสัมพันธ์ระหว่างค่าพีเอชที่เปลี่ยนแปลงไป และค่าการดูดกลืนแสงเฉลี่ย วัดที่ค่าความยาวคลื่นที่มีค่าการดูดกลืนแสงสูงสุด ของสารละลายสีข้อมมาตรฐาน 6 ชนิด เมื่อเติมสารละลายเฟอร์รัสซัลเฟตความเข้มข้น 500 พีพีเอ็ม ปริมาตร 5 cm <sup>3</sup>	56
4.11 ความสัมพันธ์ระหว่างค่าพีเอชที่เปลี่ยนแปลงไป และค่าการดูดกลืนแสงเฉลี่ย วัดที่ค่าความยาวคลื่นที่มีค่าการดูดกลืนแสงสูงสุด ของสารละลายสีข้อมมาตรฐาน 6 ชนิด เมื่อเติมแร้ดินเบนโตไนท์ ปริมาณ 500 mg	60
4.12 ความสัมพันธ์ระหว่างค่าพีเอชที่เปลี่ยนแปลงไป และค่าการดูดกลืนแสงเฉลี่ย วัดที่ค่าความยาวคลื่นที่มีค่าการดูดกลืนแสงสูงสุด ของสารละลายสีข้อมมาตรฐาน 6 ชนิด เมื่อเติมแร้ดินเคโอลิไนท์ ปริมาณ 500 mg	63
4.13 ความสัมพันธ์ระหว่างปริมาณของสารละลายอะลัม และค่าการดูดกลืนแสงเฉลี่ย ที่ค่าความยาวคลื่นที่มีค่าการดูดกลืนแสงสูงสุด ของสารละลายสีข้อมมาตรฐาน 6 ชนิด ที่ช่วงพีเอช 5-6	68
4.14 ความสัมพันธ์ระหว่างปริมาณของสารละลายเฟอร์รัสแอมโมเนียมซัลเฟต และค่าการดูดกลืนแสงเฉลี่ยที่ค่าความยาวคลื่นที่มีค่าการดูดกลืนแสงสูงสุด ของสารละลายสีข้อมมาตรฐาน 6 ชนิด ที่ช่วงพีเอช 8-10	70
4.15 ความสัมพันธ์ระหว่างปริมาณสารละลายเฟอร์รัสซัลเฟต และค่าการดูดกลืนแสงเฉลี่ยที่ค่าความยาวคลื่นที่มีค่าการดูดกลืนแสงสูงสุด ของสารละลายสีข้อมมาตรฐาน 6 ชนิด ที่ช่วงพีเอช 8-10	72
4.16 ความสัมพันธ์ระหว่างปริมาณแร้ดินเบนโตไนท์ที่เปลี่ยนแปลงไป และค่าการดูดกลืนแสงเฉลี่ยที่ค่าความยาวคลื่นที่มีค่าการดูดกลืนแสงสูงสุด ของสารละลายสีข้อมมาตรฐาน 6 ชนิด	75
4.17 ความสัมพันธ์ระหว่างปริมาณแร้ดินเคโอลิไนท์ที่เปลี่ยนแปลงไป และค่าการดูดกลืนแสงเฉลี่ยที่ค่าความยาวคลื่นที่มีค่าการดูดกลืนแสงสูงสุด ของสารละลายสีข้อมมาตรฐาน 6 ชนิด	77

รูปที่	หน้าที่
4.18 ความสัมพันธ์ระหว่างปริมาตรสารละลายอะลัมที่เปลี่ยนแปลงไป และค่าการดูดกลืนแสงเฉลี่ยที่ค่าความยาวคลื่นที่มีค่าการดูดกลืนแสงสูงสุด ของสารละลายสีข้อมมาตรฐาน 6 ชนิด เมื่อเติมแร่ดินเบนโทไนท์ 1 g	80
4.19 ความสัมพันธ์ระหว่างปริมาตรสารละลายเฟอร์สแอมโมเนียมซัลเฟต และค่าการดูดกลืนแสงเฉลี่ยที่ค่าความยาวคลื่นที่มีค่าการดูดกลืนแสงสูงสุด ของสารละลายสีข้อมมาตรฐาน 6 ชนิด เมื่อเติมแร่ดินเบนโทไนท์ 1 g	82
4.20 ความสัมพันธ์ระหว่างปริมาตรสารละลายเฟอร์สซัลเฟต และค่าการดูดกลืน แสงเฉลี่ยที่ค่าความยาวคลื่นที่มีค่าการดูดกลืนแสงสูงสุดของสารละลาย สีข้อมมาตรฐาน 6 ชนิด เมื่อเติมแร่ดินเบนโทไนท์ 1 g	84
4.21 ความสัมพันธ์ระหว่างปริมาณแร่ดินเบนโทไนท์ และค่าการดูดกลืนแสง เฉลี่ยวัดที่ค่าความยาวคลื่นที่มีค่าการดูดกลืนแสงสูงสุด ของน้ำทิ้งตัวอย่าง 5 ชนิด	89
4.22 ความสัมพันธ์ระหว่างปริมาตรสารตกตะกอนที่เปลี่ยนแปลงไป และค่าการดูดกลืนแสงเฉลี่ยที่ค่าความยาวคลื่นที่มีค่าการดูดกลืนแสงสูงสุด ของน้ำทิ้งตัวอย่าง 5 ชนิด เมื่อเติมแร่ดินปริมาณ 2 g	90